

- [3] Cornud F, Flam T, Chauveinc L, et al. Extraprostatic spread of clinically localized prostate cancer: factors predictive of pT3 tumor and of positive endorectal MR imaging examination results [J]. Radiology, 2002, 224(1): 203-210.
- [4] 程亮, 王曦, 朱扬丽, 等. 前列腺癌 Gleason 分级目前进展的剖析[J]. 中华病理学杂志, 2011, 40(9): 577-580.
- [5] Gleason DF, Mellinger GT. Prediction of prognosis for prostatic adenocarcinoma by combined histological grading and clinical staging[J]. J Urol, 1977, 117(2): 134-139.
- [6] 赵明, 滕晓东, 何向蕾, 等. 2014 年国际泌尿病理协会前列腺癌分级系统新进展和新的预后分组[J]. 中华病理学杂志, 2016, 45(10): 673-675.
- [7] Tsai YS, Jou YC, Chen CH, et al. Doppler spectral waveform parameters at neurovascular bundle vessels in patients with prostate biopsy[J]. J Endourol, 2014, 28(3): 364-370.
- [8] Mitterberger M, Aigner F, Pinggera GM, et al. Contrast-enhanced colour Doppler-targeted prostate biopsy: correlation of a subjective blood-flow rating scale with the histopathological outcome of the biopsy[J]. BJU Int, 2010, 106(9): 1315-1318.
- [9] Nelson ED, Sotoroff CB, Gomella LG, et al. Targeted biopsy of the prostate: the impact of color Doppler imaging and elastography on prostate cancer detection and Gleason score[J]. Urology, 2007, 70(6): 1136-1140.
- [10] Barr RG, Memo R, Schaub CR. Shear wave ultrasound elastography of the prostate: initial results[J]. Ultrasound Q, 2012, 28(1): 13-20.
- [11] Ahmad S, Cao R, Varghese T, et al. Transrectal quantitative shear wave elastography in the detection and characterisation of prostate cancer[J]. Surg Endosc, 2013, 27(7): 3280-3287.

(收稿日期: 2016-04-28)

· 病例报道 ·

Ultrasonic diagnosis of uterine accessories incarcerated hernia: a case report 超声诊断子宫附件嵌顿疝 1 例

范 艳

[中图法分类号] R711.59; R445.1

[文献标识码] B

患者女, 78 岁, 孕 8 产 4。因“发现右侧腹股沟区包块 7 年, 增大 1 周不能还纳”就诊。体格检查: 站立时于腹股沟韧带下方见一大约 40 mm×40 mm 包块, 不能还纳, 无压痛, 外环口不松弛, 平卧后不消失。超声检查: 右侧腹股沟区距体表 5 mm 深处探及大小 55 mm×36 mm×27 mm 的囊袋样回声, 向上延伸与腹腔相通, 边界清晰, 其内见大小 44 mm×29 mm×23 mm 的子宫回声(图 1), 一侧肌壁间见节育环(图 2); CDFI 示子宫肌壁间见少许彩色血流信号。超声提示: 右侧腹股沟区囊袋样回声: 考虑疝(疝内容物为子宫及附件)。术后诊断: 右侧股疝嵌顿(疝囊内容物为子宫、右侧输卵管及卵巢、子宫阔韧带)。

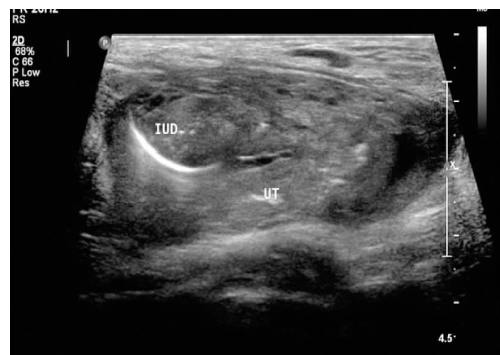


图 2 子宫疝入腹股沟区(IUD: 节育环; UT: 宫体)

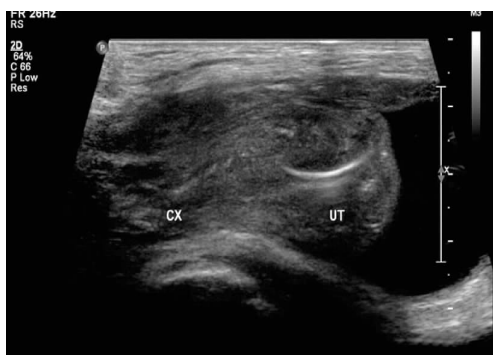


图 1 子宫疝入腹股沟区(CX: 宫颈; UT: 宫体)

讨论: 股疝多见于 40 岁以上妇女, 由于女性骨盆较宽, 联合肌腱和腔隙韧带较薄弱, 以致股管上口宽大松弛故而易发病, 由于股管几乎垂直向下, 加以股环本身狭小, 因此容易发生嵌顿。疝内容物多为小肠和网膜, 子宫附件同时疝入极为少见。本病例发生的原因可能为: 患者为老年妇女, 曾生育多胎, 韧带松弛, 子宫附件活动度大, 体力劳动时腹压增加子宫附件疝出嵌顿。临床上对于女性股疝应注意子宫附件疝出的可能性, 本病例因节育环存在而易于诊断, 对于年轻女性, 特别是有生育要求者, 当超声医师检查腹股沟包块时应仔细探查疝内容物, 并常规扫查腹腔, 以明确诊断, 避免术中损伤或误切子宫附件。

(收稿日期: 2016-05-07)